

名古屋工業大学

"

岡山県庁(元・名工大学部生)

正員 松岡 元

正員 中井照夫

正員 野村幸宣

以前より粘土の応力・ひずみ関係が、砂の場合と同じ提案式によつて説明できることを実験データによつて検証してきた。ニニゴは、正規および過圧密粘土の三軸圧縮・伸張条件下的平均有効主応力 σ_m 一定試験を行はず、空間滑動面(Spatial Mobilized Plane; SMP)^{2), 3)}に基づいて解析を試みた。

1. 実験の概要

試料は市販の粘土粉末の練り返し再圧密粘土(通称藤の森粘土, LL = 44.7%, PL = 24.7%)であり、供試体は直径 3.5 cm, 高さ 28 cm の円筒形に成形した。ゴム・ストリーブ、3 級の強力の影響を除去するため、厚さ 0.03 mm のゴム・ストリーブを用い、側方排水用 3 級紙は巻かずして試料の上下端面から排水を許した。排水試験であるため、軸ひずみ速度 $\dot{\epsilon}_a$ は十分大きい $\dot{\epsilon}_a = 0.8\%/\text{day}$ (0.63 mm/day) を採用した。また排水(吸)水量の測定では、ビュレット内の水の蒸発量をダミーのビュレットにより補正した。なお、全2の実験は恒温室($20.0^\circ\text{C} \pm 0.5^\circ\text{C}$)内で行なわれた。

2. 空間滑動面(SMP)に基づいた応力・ひずみ関係

粒子接点が場所的にランダムに存在する場合には、各粒子接点ごとの粒子の平均的な滑動方向は主ひずみ増分ベクトル($d\epsilon_1, d\epsilon_2, d\epsilon_3$)の方向に一致すると考えられる。^{2), 3)} そこで、主ひずみ増分ベクトルの SMP に垂直な成分、平行な成分をそれぞれ $d\epsilon_{SMP}^*$, $d\gamma_{SMP}^*$ と表記すれば、これらのひずみ成分と SMP 上のせん断・垂直応力比 T_{SMP}/σ_{SMP} の間に次のようないくつかのユニークな関係式が成立することが見出されている。^{2), 3)}

$$T_{SMP}/\sigma_{SMP} = \lambda^* \cdot (-d\epsilon_{SMP}^*/d\gamma_{SMP}^*) + \mu^* \quad \cdots \cdots (1)$$

$$T_{SMP}/\sigma_{SMP} = \lambda^* \cdot (-\epsilon_{SMP}^*/\gamma_{SMP}^*) + \mu' \quad \cdots \cdots (2)$$

式(1), (2)を連立して解けば次式が得られる。

$$d\gamma_{SMP}^* = \frac{\gamma_{SMP}^*}{\mu'^* - \mu^*} \cdot \exp\left(\frac{X - \mu^*}{\mu'^* - \mu^*}\right) \cdot dX \quad \cdots \cdots (3)$$

$$d\epsilon_{SMP}^* = \frac{\mu^* - X}{\lambda^*} \cdot d\gamma_{SMP}^* \quad (X \equiv T_{SMP}/\sigma_{SMP}) \quad \cdots \cdots (4)$$

ここで、 $(\lambda^*, \mu^*, \mu'^*, \gamma_{SMP}^*)$ は土質パラメータである。 $d\gamma_{SMP}^*$ と T_{SMP} の方向が一致するとすれば、 a_i を SMP の法線の方向余弦、 b_i を T_{SMP} の方向余弦とし、 $d\epsilon_{SMP}^*$, $d\gamma_{SMP}^*$ の主ひずみ増分 $d\epsilon_i$ への変換は次式^{2), 3)} で与えられる。

$$d\epsilon_i = a_i \cdot d\epsilon_{SMP}^* + b_i \cdot d\gamma_{SMP}^* \quad (i=1, 2, 3)$$

$$= \sqrt{J_3/(O_1 O_2)} \cdot d\epsilon_{SMP}^* + \{(O_1 J_2 - O_2 J_1)/\sqrt{O_1 O_2 (J_1 J_2 - J_3)}\} \cdot d\gamma_{SMP}^* \quad (5)$$

$$= 1, \quad J_1 = O_1 + O_2 + O_3, \quad J_2 = O_1 O_2 + O_2 O_3 + O_3 O_1, \quad J_3 = O_1 O_2 O_3$$

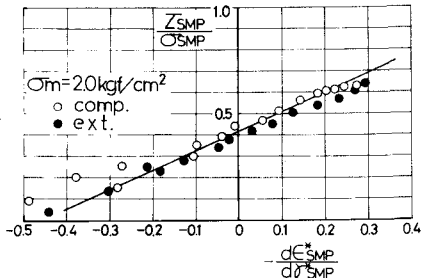


図-1 正規圧密粘土の三軸圧縮・伸張条件下の $T_{SMP}/\sigma_{SMP} \sim -d\epsilon_{SMP}^*/d\gamma_{SMP}^*$ 関係。

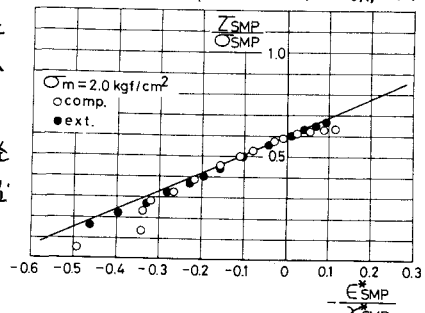


図-2 正規圧密粘土の三軸圧縮・伸張条件下の $T_{SMP}/\sigma_{SMP} \sim -\epsilon_{SMP}^*/\gamma_{SMP}^*$ 関係。

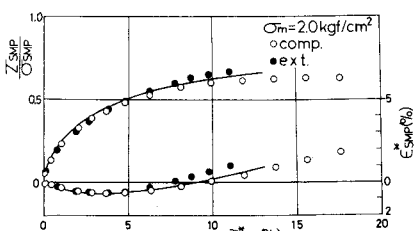


図-3 正規圧密粘土の三軸圧縮・伸張条件下の $T_{SMP}/\sigma_{SMP} \sim \gamma_{SMP}^*$, $\epsilon_{SMP}^* \sim \gamma_{SMP}^*$ 関係。

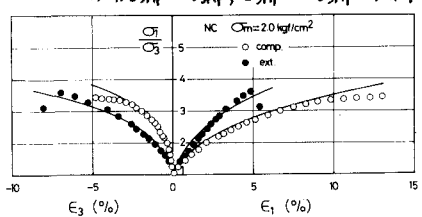


図-4 正規圧密粘土の三軸圧縮・伸張条件下の 主応力比～主ひずみ関係。

$$\text{なお}, \frac{T_{SMP}}{\sigma_{SMP}} = \sqrt{(J_1 J_2 / 9 J_3) - 1} \quad \dots \dots \dots (6)$$

$$d\epsilon_{SMP}^* = d\epsilon_1 \cdot a_1 + d\epsilon_2 \cdot a_2 + d\epsilon_3 \cdot a_3 \quad \dots \dots \dots (7)$$

$$d\gamma_{SMP}^* = \sqrt{(d\epsilon_1 \cdot a_2 - d\epsilon_2 \cdot a_1)^2 + (d\epsilon_2 \cdot a_3 - d\epsilon_3 \cdot a_2)^2 + (d\epsilon_3 \cdot a_1 - d\epsilon_1 \cdot a_3)^2} \quad \dots \dots \dots (8)$$

3. 正規および過圧密粘土の応力・ひずみ特性

まず図-1, 2 は正規圧密粘土の三軸圧縮・伸張試験 ($\sigma_m = 2.0 \text{ kgf/cm}^2$) 結果を、式(1), (2)に対応させて整理したものである。また図-3 は式(3), (4)に対する整理である。これらの図より、 $\lambda^* = 0.9$, $\mu^* = 0.42$, $\mu'^* = 0.60$, $\delta_0^* = 3.3\%$ と決定した。図-1~3 において注目すべきことは、SMP 上の整理によれば、圧縮(OEP)・伸張(●印)条件ともユニークに規定されることがある。次に図-4 は上記のパラメータ値を用いて式(3)~(5)により算定された計算値と実測値の比較を示している。なお、同図より破壊時の主応力比が圧縮・伸張条件とも約 3.5 程度であるのが分られる。

次に、過圧密粘土の変形挙動は正規圧密粘土のように単純には解析されないが、軽く過圧密されてい場合 (OCR 2 程度まで) にはあるひずみ(降伏点、ひずみのようす)以後は正規圧密の場合の延長線上にみられるようである。すなはち、図-5 の点線で示した T/σ_N ~ γ 関係、 E_N ~ γ 関係が正規圧密粘土のものであるとすれば、近似的にそれらの原点、すなはち (γ_0, E_0) だけ平行移動した曲線で説明されるようである。詳細は省略するが、過圧密比 (OCR) 2 の場合にハシメ実測値より γ_0 , E_0 の値を決定し、上記の考え方によると式(3), (4)による計算曲線を入れたのが図-6 である。図-7 は式(3)~(5)によると主応力比・主ひずみ関係に変換した計算値と実測値の比較を示している。ここで留意すべきは、この計算には上記の正規圧密粘土の土質パラメータが用いられていくことである。なお、図-6, 7 の▲印で示す三軸伸張試験では、破壊近くにからびてゴム・スリーブに水漏れが生じたが参考までに示した。図-8, 9 は OCR 4 の場合の三軸圧縮・伸張試験 ($\sigma_m = 2.0 \text{ kgf/cm}^2$) の結果、図-10 は OCR 8 の場合の三軸圧縮試験 ($\sigma_m = 1.0 \text{ kgf/cm}^2$) の結果を示す。例えば、図-4, 7, 8, 10 の三軸圧縮試験結果を比較すれば、OCR が大きくなれば程、破壊時の主応力比は大きくなり、破壊時の主ひずみは小さくなるのが分られる。

謝辞 日頃御援助いただいている本学
山内利彦教授、実験に協力していただいた
鈴木好実技官に感謝いたします。

文献 1) 松岡・中井(1974): Proc. of JSCE, No. 232,
pp. 59~70.

2) 中井・松岡: 3 主応力下の土のせん断挙動に関する統一的解釈、土木学会論文報告集(投稿中)。

3) 松岡・中井・石崎: 空間滑動面に基づいた異方性土の応力・ひずみ関係、土木学会論文報告集(投稿中)。

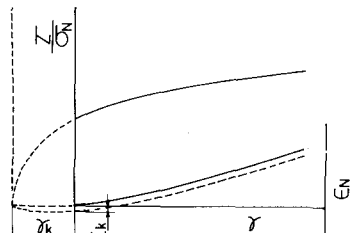


図-5 T/σ_N ~ γ , E_N ~ γ 関係の原点の平行移動。

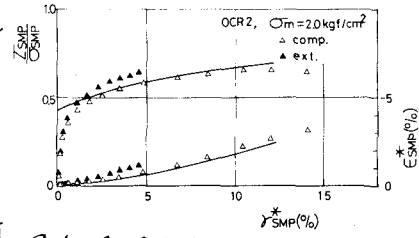


図-6 過圧密粘土 (OCR 2) の三軸圧縮・伸張条件下の T_{SMP}/σ_{SMP} ~ γ_{SMP}^* , E_{SMP} ~ γ_{SMP}^* 関係。

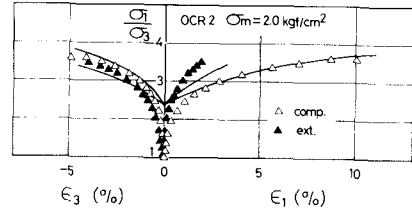


図-7 過圧密粘土 (OCR 2) の三軸圧縮・伸張条件下の主応力比・主ひずみ関係。

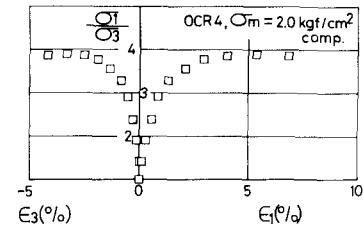


図-8 過圧密粘土 (OCR 4) の三軸圧縮条件下の主応力比・主ひずみ関係。

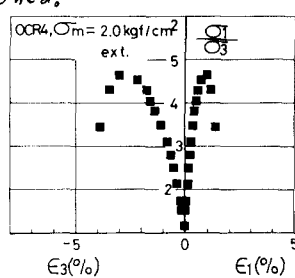


図-9 過圧密粘土 (OCR 4) の三軸伸張条件下の主応力比・主ひずみ関係。

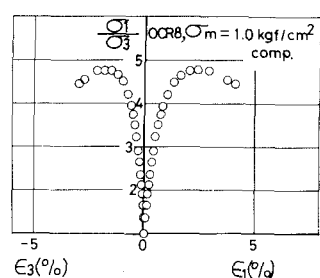


図-10 過圧密粘土 (OCR 8) の三軸圧縮条件下の主応力比・主ひずみ関係。